

سیتیک بلورینگی غیرهمدمای آلیاژ آمورف $\text{Co}_{67}\text{Fe}_4\text{Cr}_7\text{Si}_8\text{B}_{14}$

سیده اکرم هاشمی نژاد^۱، محسن حداد سبزوار^۲

چکیده:

در این تحقیق سیتیک بلورینگی غیرهمدمای آلیاژ آمورف $\text{Co}_{67}\text{Fe}_4\text{Cr}_7\text{Si}_8\text{B}_{14}$ با روش کالریمتری رویشی تفاضلی (DSC) در نرخ‌های گرمایش $10^\circ\text{C}/\text{min}$ ، $20^\circ\text{C}/\text{min}$ ، $30^\circ\text{C}/\text{min}$ و $40^\circ\text{C}/\text{min}$ و $80^\circ\text{C}/\text{min}$ مورد بررسی قرار گرفت. مشخص شد که آلیاژ آمورف حین گرمایش دو مرحله بلورینگی را نشان می‌دهد. با افزایش نرخ گرمایش، پیک‌های بلورینگی به سمت دماهای بالاتر منتقل می‌شوند. انرژی‌های فعال‌سازی ظاهری مربوط به اولین مرحله بلورینگی با دو روش Kissinger و Ozawa به ترتیب مقادیر $443/44^\circ\text{C}$ و $434/47^\circ\text{C}$ تعیین شدند. پارامترهای سیتیک مثل توان بلورینگی (n) و بعدپذیری رشد (m) نیز از دو روش JMAK و Ozawa محاسبه شدند. جزئیات رفتارهای جوانه‌زنی و رشد حین بلورینگی غیرهمدمای بر حسب انرژی فعال‌سازی موضعی (x) با روش OFW (Flynn, Ozawa و wall) نیز مورد بررسی قرار گرفتند. همچنین انرژی فعال‌سازی برای جوانه‌زنی (E_n) و رشد (E_g) به طور جداگانه محاسبه شدند.

کلمات کلیدی: آلیاژ آمورف پایه کبالت، آنالیز حرارتی، سیتیک بلورینگی غیرهمدمای.

^۱دانشجوی کارشناسی ارشد شناسایی و انتخاب مواد مهندسی، دانشگاه فردوسی مشهد

akram.hasheminejad@gmail.com

^۲دانشیار گروه مهندسی مواد و متالورژی، دانشگاه فردوسی مشهد

۱- مقدمه

اولین آلیاژ آمورف با بکارگیری تکنیک انجماد سریع در سال ۱۹۶۰ بر روی آلیاژ دوتایی Au-Si توسط Duwez و همکارانش حاصل گردید [۱]. آنها نشان دادند که با افزایش سرعت سرمایش می‌توان از فرآیند جوانهزنی و رشد بلورها جلوگیری نمود. بنابراین فلزات آمورف فاقد نظم طولانی بردن و ساختار بلورین فلزات متداولند و نابجایی‌ها و عیوب فلزات بلورین در آنها دیده نمی‌شود که منجر به بهبود خواص مکانیکی، فیزیکی، حرارتی، مغناطیسی، خوردگی و سایشی نمونه‌های آمورف در مقایسه با مواد بلورین شده است [۲]. فلزات آمورف از لحاظ سینتیکی موادی نیمه‌پایدار و از لحاظ ترمودینامیکی ناپایدارند. در صورتی که این مواد در معرض حرارت قرار گیرند، امکان برگشت پذیری ماده آمورف به حالت بلورین پایدار وجود دارد که این پایداری حرارتی نامناسب یکی از موانع بزرگ کاربرد این مواد می‌باشد.

به منظور مطالعه سینتیک فرآیندهای بلورینگی فلزات آمورف بیشتر از روش‌های کالریمتری و بویژه DSC استفاده می‌شود. در محاسبات کالریمتری، اغلب از دو روش گرمایش همدما و غیرهمدمای (پیوسته) استفاده می‌شود. از چندین دهه گذشته علاقه زیادی در بکارگیری تکنیک‌های تحلیل تجزیه تجربی همدما و غیرهمدمای به منظور بررسی تحولات فازی دیده شده است. در حالیکه تکنیک‌های تحلیل تجزیه تجربی همدما در بیشتر موارد صریح و قطعی هستند، روش‌های تحلیل حرارتی غیرهمدمای چندین مزیت دارند؛ در آزمایشات غیرهمدمای می‌توان محدوده دمایی محاسبات را نسبت به آزمایشات همدما افزایش داد، همچنین آزمایشات غیرهمدمای سریع‌تر از همدما انجام می‌شوند. از این‌رو تلاش‌های زیادی انجام شده است تا روش‌های تجزیه و تحلیل سینتیک همدما به آزمایشات غیرهمدمای نیز عمومیت یابند [۵-۲]. مطالعه سینتیک بلورینگی باعث می‌شود که انرژی فعال‌سازی بلورینگی و پارامترهایی چون توان اورامی که نشان‌دهنده مکانیزم بلورینگی است مشخص شوند.

در تحقیق حاضر بلورینگی غیرهمدمای آلیاژ آمورف $\text{Co}_{67}\text{Fe}_{4}\text{Cr}_7\text{Si}_8\text{B}_{14}$ با استفاده از تکنیک DSC مورد بررسی قرار گرفته است.

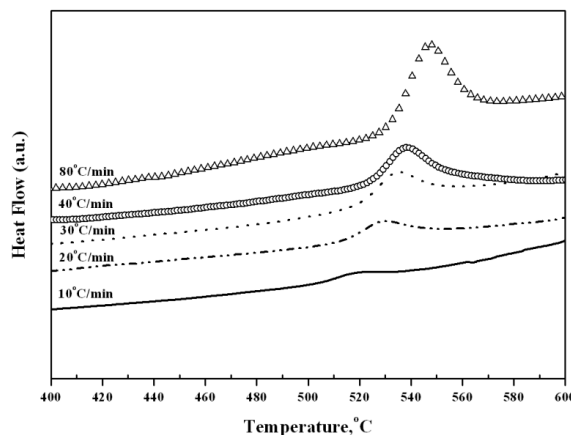
۲- مواد و روش تحقیق

در این تحقیق از نوارهای آلیاژ آمورف $\text{Co}_{67}\text{Fe}_{4}\text{Cr}_7\text{Si}_8\text{B}_{14}$ با عرض ۲ سانتی‌متر و ضخامت 1 ± 29 میکرومتر که با روش Planar Flow Melt Spinning (PFMS) تهیه شده بودند، استفاده گردید [۶]. دما و آنتالپی بلورینگی مرحله اول و رفتار حرارتی نمونه‌های آمورف و آنلیشده این آلیاژ با استفاده از دستگاه Shimadzu DSC-60 مدل تعیین و بررسی شد. کالیبراسیون مقیاس دما با استفاده از استاندارد ایندیوم خالص (نقطه ذوب $156/6^{\circ}\text{C}$ و گرمای نهان تشکیل $28/5 \text{ Jg}^{-1}$) در هر دور انجام شد تا از صحت داده‌ها اطمینان حاصل شود. نمونه‌ها از محدوده دمای محیط تا 600°C به طور پیوسته در نرخ‌های گرمایش $10, 20, 30$ و 40 و

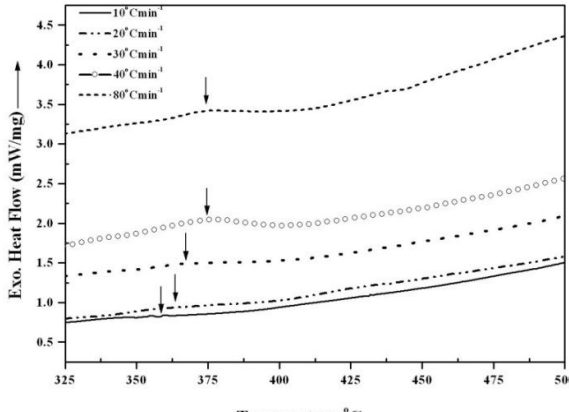
$80^{\circ}\text{C min}^{-1}$ مورد آزمایش قرار گرفتند. جهت اطمینان از داده‌های بدست آمده، هر آزمایش حداقل دو بار تکرار شد.

۳- نتایج و بررسی

شکل (۱) منحنی‌های DSC غیر همدما آلیاژ آمورف $\text{Co}_{67}\text{Fe}_4\text{Cr}_7\text{Si}_8\text{B}_{14}$ در نرخ‌های گرمایش $10^{\circ}\text{C min}^{-1}$ ، $20^{\circ}\text{C min}^{-1}$ ، $30^{\circ}\text{C min}^{-1}$ و $40^{\circ}\text{C min}^{-1}$ بر حسب دما را نشان می‌دهد. مشخص شده است که بلورینگی این آلیاژ آمورف به محض گرمایش شامل دو مرحله است [۷]. از آنجایی که محدوده دمایی دستگاه DSC، حدکثر 600°C می‌باشد، تنها بلورینگی مرحله اول قابل بررسی است. دماهای پیک بلورینگی در نرخ‌های گرمایش $10^{\circ}\text{C min}^{-1}$ ، $20^{\circ}\text{C min}^{-1}$ ، $30^{\circ}\text{C min}^{-1}$ و $40^{\circ}\text{C min}^{-1}$ به ترتیب مقادیر $523/31^{\circ}\text{C}$ ، $530/35^{\circ}\text{C}$ ، $535/49^{\circ}\text{C}$ و $538/61^{\circ}\text{C}$ تعیین شدند. با افزایش نرخ گرمایش پیک بلورینگی به سمت دماهای بالاتر منتقل می‌شود که نشان‌دهنده اثرات سیستیکی است. همچنین با افزایش نرخ گرمایش پیک‌های بلورینگی وسیعتر می‌شوند. منحنی‌های نشان داده شده در شکل (۲) قسمتی از منحنی‌های DSC از دمای 325°C تا 510°C می‌باشند. در همه این منحنی‌ها پیک وسیع و کمارتفاعی که با نشانه مشخص شده است، دیده می‌شود که با افزایش نرخ گرمایش به سمت دماهای بالاتر منتقل می‌شود. این پیک‌ها نشان‌دهنده مرحله آزادسازی ساختاری می‌باشد. قبل از واکنش بلورینگی حتی در نرخ‌های گرمایش بالا نیز تحول شیشه‌ای شدن واضحی (T_g) دیده نشد که به دلیل نزدیکی دمای تحول شیشه‌ای شدن و دمای شروع بلورینگی این آلیاژ است.



شکل (۱): منحنی‌های DSC گرمایش غیر همدما در نرخ‌های گرمایش مختلف بر حسب دما.



شکل (۲): سمت چپ منحنی های DSC نوارهای آمورف $\text{Co}_{67}\text{Fe}_4\text{Cr}_7\text{Si}_8\text{B}_{14}$ در نرخ های گرمایش مختلف.

به منظور توصیف رفتار حرارتی فلزات آمورف در شرایط همدما، نرخ واکنش به صورت حاصل ضرب دوتابع مجزای دمای مطلق(T) و کسر حجمی فاز بلورینه (x) بیان می شود [۸-۱۰]:

$$\dot{x} = \frac{dx}{dt} = k(T)f(x) \quad (1)$$

که $f(x)$ تابع کسر حجمی متحول شده (x) است و مکانیزم واکنش را مشخص می کند و $k(T)$ ثابت نرخ واکنش است که با معادله آرنیوسی بیان می شود:

$$k(T) = A \exp\left(-\frac{E_c}{RT}\right) \quad (2)$$

در اینجا A فاکتور فرکانس و مستقل از دما، E_c انرژی فعال سازی ظاهری، R ثابت عمومی گازها و T دمای مطلق می باشد. بنابراین نرخ تحول واکنش در شرایط همدما به صورت معادله (۳) است:

$$\dot{x} = \frac{dx}{dt} = A \exp\left(-\frac{E_c}{RT}\right) f(x) \quad (3)$$

تحت شرایط غیرهمدما با نرخ گرمایش ثابت $\frac{dT}{dt} = \beta$ ، معادله (۳) را می توان به صورت زیر نوشت:

$$\frac{dx}{dT} = \frac{A}{\beta} \exp\left(-\frac{E_c}{RT}\right) f(x) \quad (4)$$

برای توصیف فرایند بلورینگی همه فرایندهای وابسته به دما و زمان، نیاز به تعیین پارامترهای سیتیک از جمله انرژی فعال سازی بلورینگی (E_c)، فاکتور فرکانس (A) و توان بلورینگی (n) است.

۱-۳-۳- انرژی فعال سازی بلورینگی

۱-۳-۱-۱- روش Kissinger

با درنظر گرفتن تغییرات دمای پیک بلورینگی (T_p) با نرخ گرمایش (β)، انرژی فعال سازی ظاهری هر مرحله بلورینگی یک آلیاز آمورف تحت شرایط گرمایش خطی می‌تواند با معادله Kissinger تخمین زده شود که رابطه دمای پیک گرمایش با نرخ گرمایش با معادله زیر توصیف می‌شود [۲، ۴ و ۸]:

$$\ln\left(\frac{\beta}{T_p^2}\right) = -\frac{E_c}{RT_p} + \ln\left(\frac{AR}{E_c}\right) \quad (5)$$

با رسم $\ln(\beta/T_p^2)$ بر حسب $T_p/1$ خط تقریباً مستقیمی بدست می‌آید که شیب آن (E_c/R) و محل برخورد با محور y ها $\ln(AR/E_c)$ می‌باشد.

شکل (۳) منحنی Kissinger آلیاز آمورف $\text{Co}_{67}\text{Fe}_4\text{Cr}_7\text{Si}_8\text{B}_{14}$ را نشان می‌دهد. مقادیر E_c و A مربوط به اولین مرحله بلورینگی برای نرخ‌های گرمایش مختلف به ترتیب $443/44 \text{ kJ mol}^{-1}$ و $(\text{s}^{-1})^{10.84} \times 10^{19}$ تعیین شدند.

۳-۱-۲- Ozawa روش

علاوه بر معادله Kissinger، در بسیاری موارد از روش غیرهمدمای دیگری نیز برای محاسبه انرژی فعال سازی بلورینگی استفاده می‌شود که به معادله Ozawa مشهور است و به صورت معادله (۶) بیان می‌شود [۱۱، ۲ و ۳]:

$$\ln \beta = -1.0516 \frac{E_c}{RT_p} + \text{const.} \quad (6)$$

به طور مشابه، ترسیم $\ln \beta$ بر حسب $T_p/1$ خطی تقریباً راست با شیب $(E_c/R)^{-1/0.0516}$ را ارائه می‌دهد. بر طبق روش Ozawa، انرژی فعال سازی بلورینگی مرحله اول این آلیاز آمورف در نرخ‌های گرمایشی که از 10^1 Cmin^{-1} تا 10^0 min^{-1} متغیرند، $434/47 \text{ kJ mol}^{-1}$ (شکل (۳)) می‌باشد.

در مقایسه با نتایج بدست آمده توسط معادله Kissinger، انرژی فعال سازی بدست آمده توسط روش Ozawa اندکی کمتر است. مقادیر نزدیک به هم انرژی فعال سازی بلورینگی بدست آمده توسط این دو روش و پراکندگی کم داده‌ها حاکی از آن است که مکانیزم واکنش در این محدوده نرخ گرمایش تغییری نخواهد کرد [۱۱]. در ادامه با تعیین مکانیزم واکنش، صحت این ادعا اثبات خواهد شد.

۳-۲- تعیین مکانیزم بلورینگی

۳-۲-۱- JMAK روش

داده‌های DSC معمولاً با فرمول JMAK (Johnson–Mehl–Avrami–Kolmogorov) تحلیل می‌شوند تا مکانیزم حاکم بر فرایند جوانه‌زنی و رشد تعیین شود. روش JMAK معمولاً برای بررسی سینتیک بلورینگی هم‌دمای استفاده می‌شود.

کسر حجمی فاز بلورینه (x) در مدل JMAK می‌تواند با رابطه زیر بر حسب تابعی از زمان بیان شود [۳]:

$$x = 1 - \exp\{-[k(t - \tau)]^n\} \quad (7)$$

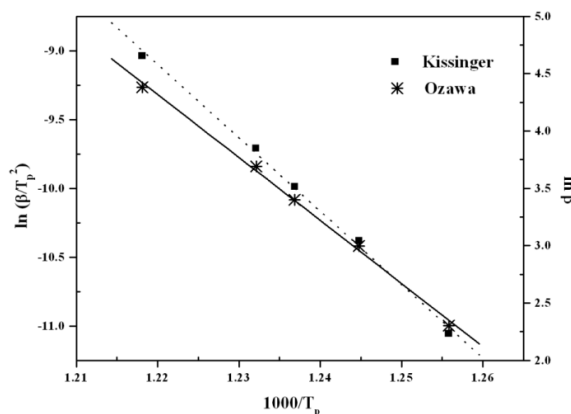
x کسر حجمی فاز بلورینه (%), τ زمان نهفتگی برای جوانهزنی، n توان بلورینگی (ویژگی‌های جوانهزنی و رشد در مدت بلورینگی را منعکس می‌کند) و k ثابت نرخ واکنش است.

بعد از مرتب کردن و دوبار لگاریتم گرفتن از معادله (7) می‌توان نوشت:

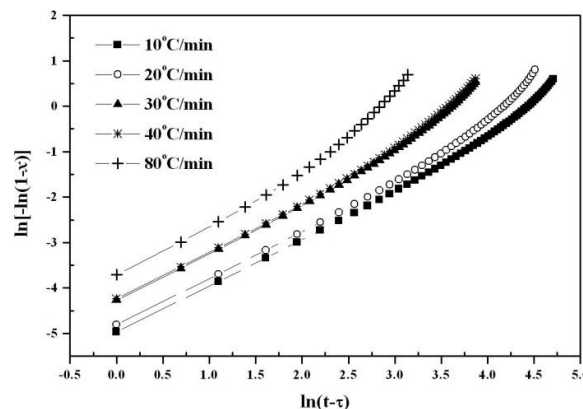
$$\ln[-\ln(1-x)] = n \ln k + n \ln(t - \tau) \quad (8)$$

مقادیر n و k از شیب و محل برخورد منحنی $\ln[-\ln(1-x)]$ بر حسب $(t - \tau)$ با محور y ها محاسبه می‌شوند.

شکل (۴) نمودار JMAK رسم شده در نرخ‌های گرمایش مختلف را نشان می‌دهد. توان بلورینگی همانطور که در جدول ۱ نشان داده شده است، تقریباً مقداری برابر ۱/۱ دارد که مشخص می‌کند رشد این آلیاژ کنترل شونده نفوذی است و نرخ جوانهزنی تقریباً صفر دارد [۱].



شکل (۳): منحنی‌های Kissinger و Ozawa برای تخمين انرژی فعال سازی بلورینگی غیرهمدمای آلیاژ آمورف $\text{Co}_{67}\text{Fe}_4\text{Cr}_7\text{Si}_8\text{B}_{14}$.



شکل (۴): منحنی $\ln[-\ln(1-x)]$ بر حسب $\ln(t - \tau)$ با استفاده از روش JMAK برای بلورینگی غیرهمدمای آلیاژ آمورف $\text{Co}_{67}\text{Fe}_4\text{Cr}_7\text{Si}_8\text{B}_{14}$ در نرخ‌های گرمایش مختلف.

جدول ۱: اثر نرخ گرمایش بر روی پارامترهای سینتیک بلورینگی

β ($^{\circ}\text{Cmin}^{-1}$)	نرخ گرمایش، n	توان اورامی، k	ثابت واکنش، r	دقت، τ
۱۰	۱/۰۸	۰/۰۰۹۲	۰/۹۹۹۲	
۲۰	۱/۱۱	۰/۰۱۱۷	۰/۹۹۸۶	
۳۰	۱/۱۰	۰/۰۱۹۳	۰/۹۹۹۱	
۴۰	۱/۱۰	۰/۰۱۹۹	۰/۹۹۹۱	
۸۰	۱/۱۰	۰/۰۳۳۷	۰/۹۹۹۵	

Ozawa روش ۲-۳-۲

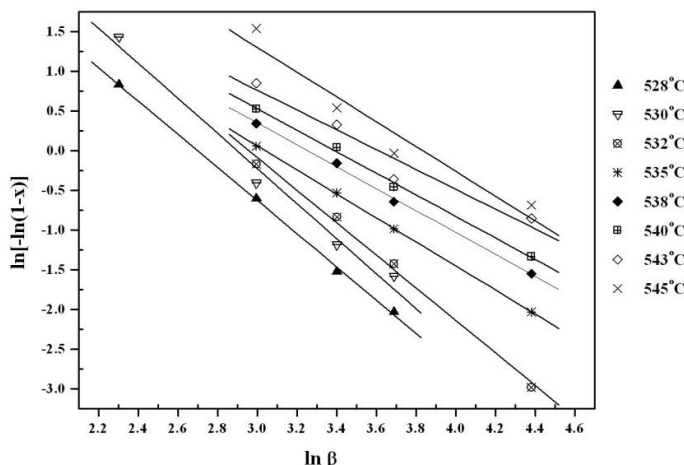
با در نظر گرفتن اینکه بلورینگی غیرهمدما، فرایندی وابسته به نرخ گرمایش است، Ozawa با جایگزین کردن متغیر نرخ گرمایش به جای زمان در معادله JMAK، کاربرد این معادله را به شرایط غیرهمدما نیز بسط داد. بنابراین معادله سینتیک به صورت زیر بدست آمد [۱۲-۱۴]:

$$x = 1 - \exp \left[- \left\{ \frac{K(T)}{\beta} \right\}^n \right] \quad (9)$$

بعد از مرتب کردن و دوبار لگاریتم گرفتن، معادله به صورت زیر می‌باشد:

$$\ln[-\ln(1-x)] = -n \ln \beta + n \ln K(T) \quad (10)$$

با رسم $\ln[-\ln(1-x)]$ بر حسب $\ln \beta$ در دماهای مختلف، توان واکنش را می‌توان محاسبه کرد. این منحنی در دماهای ثابت مطابق شکل (۵) رسم شد. مقدار n که برای اولین مرحله بلورینگی بدست آمد در جدول ۲ نشان داده شده است و مقدار متوسط آن $1/7$ می‌باشد. این مقدار نشان‌دهنده رشد کنترل شونده نفوذی سه‌بعدی با نرخ جوانهزنی تقریباً صفر می‌باشد [۱۴ و ۱۵].



شکل (۵): ترسیم $\ln[-\ln(1-x)]$ بر حسب $\ln \beta$ با استفاده از روش Ozawa برای بلورینگی غیر همدما آلیاژ آمورف $\text{Co}_{67}\text{Fe}_4\text{Cr}_7\text{Si}_8\text{B}_{14}$ در نرخ‌های گرمایش مختلف.

جدول ۲: انرژی فعال سازی موضعی (Ozawa) بر روی پارامترهای سیتیک بلورینگی (روش Ozawa)

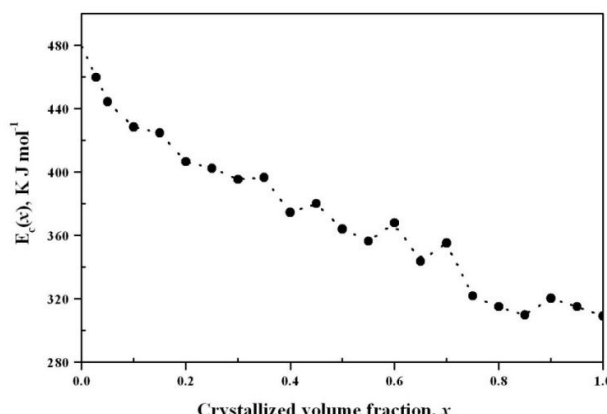
دما (°C)	(n) Ozawa	K(T)	دقت (r)
۵۲۸	۲/۰۹	۱۴/۸۵	۰/۹۹۹۴
۵۳۰	۲/۲۱	۲۱/۶۸	۰/۹۹۲۳
۵۳۲	۲/۰۵	۱۹/۲۲	۰/۹۹۷۳
۵۳۵	۱/۵۱	۲۰/۸۶	۰/۹۹۹۹
۵۳۸	۱/۳۸	۲۵/۸	۰/۹۹۹۰
۵۴۰	۱/۳۶	۲۹/۵۹	۰/۹۹۸۴
۵۴۳	۱/۲۵	۳۶/۹۸	۰/۹۷۲۷
۵۴۵	۱/۵۶	۴۶/۱۵	۰/۹۶۸

۳-۳- محاسبه انرژی فعال سازی موضعی ($E_c(x)$) به روش OFW

انرژی فعال سازی ظاهري که قبل از بلورینگی محاسبه شد معمولاً فقط مقدار متوسط را نشان می دهد. بنابراین انرژی فعال سازی موضعی ($E_c(x)$) تعریف می شود که انرژی فعال سازی در هر کسر حجمی فاز بلورینه (x) را نشان می دهد و تغییرات رفتار جوانهزنی و رشد حین فرآیند بلورینگی را منعکس می کند. بنابراین از روش OFW (Wall Flynn, Ozawa) برای محاسبه انرژی فعال سازی موضعی استفاده می شود [۲، ۹] و :

$$\ln \beta = -1.0516 \frac{E_c(x)}{RT_x} + \text{const.} \quad (11)$$

که T_x دمایی منطبق بر مقادیر ثابت کسر حجمی بلورینه (X) از آزمایشات در نرخ های گرمایش مختلف است. منحنی $\ln \beta$ بر حسب $1/T_x$ خطوط تقریباً مستقیم با شیب $-1.0516 E_c(x)/R$ را در هر مقدار ثابت X نتیجه می دهد. منحنی انرژی فعال سازی موضعی، $E_c(x)$ ، بر حسب x برای آلیاز آمورف $\text{Co}_{67}\text{Fe}_4\text{Cr}_7\text{Si}_8\text{B}_{14}$ در شکل (۶) رسم شده است.

شکل (۶): انرژی فعال سازی موضعی، $E_c(x)$ ، بر حسب کسر حجمی فاز بلورینه (x) محاسبه شده با روش OFW.

انرژی فعال سازی متوسط سینتیک بلورینگی اولیه غیر همدما 371 kJmol^{-1} است که کمتر از انرژی فعال سازی ظاهری بدست آمده از معادله Ozawa ($443/44 \text{ kJmol}^{-1}$) و Kissinger ($434/47 \text{ kJmol}^{-1}$) در محاسبات اخیر است.

۴-۳- انرژی فعال سازی جوانه زنی (E_n) و رشد (E_g)

انرژی های فعال سازی جوانه زنی و رشد به نرخ جوانه زنی (I) و سرعت رشد (U) با معادلات زیر مربوط می شوند [۱۶ و ۳] :

$$I = I_0 \exp\left(-\frac{E_n}{RT}\right) \quad (12)$$

$$U = U_0 \exp\left(-\frac{E_g}{RT}\right)$$

بنابراین محاسبه دقیق انرژی ها به منظور فهم فرایند بلورینگی و مکانیزم جوانه زنی و رشد در آلیاژ های آمورف ضروری به نظر می رسد.

از آنجایی که در مرحله اول، بلورینگی با جوانه زنی کنترل می شود، $I = U$ و انرژی فعال سازی جوانه زنی $E_n = 479 \text{ kJmol}^{-1}$ می باشد. با پیشرفت فرایند بلورینگی، سینتیک بلورینگی با جوانه زنی و رشد دانه ها تعیین می شود، بنابراین انرژی فعال سازی E_n کمتر از E_g است و با افزایش کسر بلورینه شده، x که $(0 < x < 1)$ کاهش می یابد. در مرحله نهایی، بلورینگی با رشد دانه ها کنترل می شود و $I = 0$ می باشد و انرژی فعال سازی رشد $E_g = 309 \text{ kJmol}^{-1}$ می باشد.

۴- نتیجه گیری

نتایج به دست آمده از این پژوهش به طور خلاصه شامل موارد زیر می باشند:

- مقادیر انرژی فعال سازی (E_c) و فاکتور فرکانس (A) اولین مرحله بلورینگی به روش Kissinger به ترتیب $443/44 \text{ kJmol}^{-1}$ و $(s^{-1})^{10/84} \times 10^{46}$ تعیین شدند.
- بر طبق روش Ozawa، انرژی فعال سازی بلورینگی مرحله اول این آلیاژ آمورف $434/47 \text{ kJmol}^{-1}$ می باشد.
- مقادیر انرژی فعال سازی به دست آمده از دو روش Ozawa و Kissinger هم خوانی قابل قبولی با یکدیگر دارند.
- توان بلورینگی محاسبه شده با رابطه JMAK تقریباً مقداری برابر $1/1$ و به روش Ozawa مقدار متوسط $1/7$ بدست آمد که مشخص می کند رشد این آلیاژ سه بعدی و کنترل شونده نفوذی است و نرخ جوانه زنی تقریباً صفر می باشد.

- انرژی فعال سازی متوسط سینتیک بلورینگی اولیه غیرهمدمای به روش OFW مقدار 371 kJmol^{-1} است که کمتر از انرژی فعال سازی ظاهری بدست آمده از معادله Kissinger و Ozawa در محاسبات اخیر است.

تقدیر و تشکر

نویسندها کمال تشکر را از آقای مهندس بختیاری مسئول آزمایشگاه تحقیقات گروه مهندسی شیمی جهت همکاری در انجام آزمایشات دارا می باشند.

۵- مراجع

- 1- Z.Z. Yuan, X.D. Chen, H. Xu, X.L. Qu, B.X. Wang, "Crystallization kinetics of ultrafine $\text{Co}_{74.4}\text{B}_{25.6}$ amorphous powder prepared by chemical reduction", Journal of Alloys and Compounds, Vol. 422, 2006, P. 109-115.
- 2- Z.Z. Yuan, X.D. Chen, B.X. Wang, Y.J. Wang, "Kinetics study on non-isothermal crystallization of the metallic $\text{Co}_{43}\text{Fe}_{20}\text{Ta}_{5.5}\text{B}_{31.5}$ glass", Journal of Alloys and Compounds, Vol. 407, 2006, P. 163-169.
- 3- K. Song, X. Bian, J. Guo, X. Li, M. Xie, C. Dong, "Study of non-isothermal primary crystallization kinetics of $\text{Al}_{84}\text{Ni}_{12}\text{Zr}_1\text{Pr}_3$ amorphous alloy", Journal of Alloys and Compounds, Vol. 465, 2008, P. L7-L13.
- 4- J. Vázquez, P.L. López-Alemany, P. Villares, R. Jiménez-Garay, "A study on glass transition and crystallization kinetics in $\text{Sb}_{0.12}\text{As}_{0.36}\text{Se}_{0.52}$ glassy alloy by using non-isothermal techniques", Materials Chemistry and Physics, Vol. 57, 1998, P. 162-168.
- 5- T.L. Shanker Rao, K.N. Lad, A.Pratap, "Study of non-isothermal crystallization of amorphous $\text{Cu}_{50}\text{Ti}_{50}$ alloy", Journal of Thermal analysis and Calorimetry, Vol. 78, 2004, P. 769-774.
- 6- M. Haddad-Sabzevar, "Ribbon formation and solidification behavior in planar flow melt spinning process", Ph. D. Thesis, Stockholm, 1994.

[۷] زهرا جمیلی شیروان، پایان نامه کارشناسی ارشد، دانشگاه فردوسی مشهد، ۱۳۸۸.

- 8- D.M. Minić, A. Maričić, B. Adnadević, "Crystallization of α -Fe phase in amorphous $\text{Fe}_{81}\text{B}_{13}\text{Si}_4\text{C}_2$ alloy", Journal of Alloys and Compounds, Vol. 473, 2009. P. 363-367.
- 9- A.A. Joraid, A.A. Abu-sehly, M. Abu El-Oyoun, S.N. Alamri, "Nonisothermal crystallization kinetics of amorphous $\text{Te}_{51.3}\text{As}_{45.7}\text{Cu}_3$ alloy", Thermochimica Acta, Vol. 470, 2008, P. 98-104.
- 10- M.J. Starink, "The determination of activation energy from linear heating rate experiments: a comparison of the accuracy of isoconversion methods", Thermochimica Acta, Vol. 404, 2003, P. 163-176.
- 11- H.R. Wang, Y.L. Gao, Y.F. Ye, G.H. Min, Y. Chen, X.Y. Teng, "Crystallization kinetics of an amorphous Zr-Cu-Ni alloy: calculation of the activation energy", Journal of Alloys and Compounds, Vol. 353, 2003, P. 200-206.
- 11- K. Song, X. Bian, J. Guo, X. Li, M. Xie, C. Dong, "Study of non-isothermal primary crystallization kinetics of $\text{Al}_{84}\text{Ni}_{12}\text{Zr}_1\text{Pr}_3$ amorphous alloy", Journal of Alloys and Compounds, Vol. 465, 2008, P. L7-L13.
- 12- M. Wu, G. Yang, M. Wang, W. Wang, W.D. Zhang, J. Feng, T. Liu, "Nonisothermal crystallization kinetics of ZnO nanorod filled polyamide 11 composites", Materials Chemistry Physics, Vol. 109, 2008, P. 547-555.

- 13- S.H. Al-Heniti, "Kinetic study of non-isothermal crystallization in $\text{Fe}_{78}\text{Si}_9\text{B}_{13}$ metallic glass", Journal of Alloys and Compounds, Vol. 484, 2009, P. 177-184.
- 14- A. Karamanov, M. Pelino, "Influence of the nucleation time-lag on the activation energy in non-isothermal crystallization", Journal of Non-Crystalline Solids, Vol. 290, 2001, P. 173-179.
- 15- D.S. dos Santos, D.R. dos Santos, "Crystallization kinetics of Fe–B–Si metallic glasses", Journal of Non-Crystalline Solids, Vol. 304, 2002, P. 56–63.
- 16- K. Lu, J.T. Wang, "Activation energies for crystal nucleation and growth in amorphous alloys", Materials Science and Engineering, Vol. 133, 1991, P. 500-503.

Non-isothermal Crystallization Kinetics of $\text{Co}_{67}\text{Fe}_4\text{Cr}_7\text{Si}_8\text{B}_{14}$ Amorphous Alloy

S.A. Hasheminezad*, M. Haddad-Sabzevar

* Materials and metallurgical Engineering Department, Engineering Faculty, Ferdowsi University of Mashhad,
Box 91775-1111, Mashhad, Iran.
akram.hasheminezad@gmail.com

Abstract

Non-isothermal crystallization kinetics of $\text{Co}_{67}\text{Fe}_4\text{Cr}_7\text{Si}_8\text{B}_{14}$ amorphous alloy was studied by differential scanning calorimetry (DSC) under 10, 20, 30, 40 and 80 °C/min heating rates. It is found that $\text{Co}_{67}\text{Fe}_4\text{Cr}_7\text{Si}_8\text{B}_{14}$ amorphous alloy exhibits two-stage crystallization on heating. The first crystallization peak shifts to higher temperatures with increasing heating rate. The apparent activation energies (E_C) for the first stage of crystallization were determined as 443.44 and 434.47 kJmol^{-1} by using the Kissinger and Ozawa equations, respectively. Crystallization exponent (n) and dimensionality of growth were determined by using JMAK (Johnson-Mehl-Avrami-Kolmogorov) and Ozawa methods. Details of the nucleation and growth behaviors during the non-isothermal crystallization were studied in terms of local activation energy, $E_C(x)$, by the OFW (Ozawa, Flynn, and Wall) method. Also the activation energy for nucleation (E_n) and growth (E_g) were determined.

Keywords: Co-based amorphous alloy, Thermal analysis, Non-isothermal crystallization kinetics.